

## I-A260 鋼管柱模型の弾塑性応答性状に関する正弦波加振実験

室蘭工業大学 (株)日本製鋼所	学生員 正員	市ノ渡 誉 将 小枝 日出夫	室蘭工業大学 正員	矢吹信喜 岸徳光
			室蘭工業大学 正員	北海道開発局 正員
				池田憲二

## 1.はじめに

本研究では、円形断面鋼製橋脚の動的応答性状に関する基礎資料を蓄積することを目的として、小型钢管柱模型上に上部工を模擬した鉛塊を設置し、簡易振動台を用いた加振実験を行った。本論文では、钢管の径厚比や钢管が異なる場合、また加振加速度の負荷履歴が異なる場合に関して比較検討を行っている。

## 2. 実験の概要

## 2.1. 試験体

図-1に本実験で用いた試験体の形状を、また表-1に試験体の寸法および各パラメータを示す。使用钢管は一般構造用炭素鋼钢管（JIS G 3444 STK400-E-G）および配管用炭素鋼钢管（JIS G 3452 SGP-B）の2種類である。試験体の名称は、第1項が钢管（K:STK400-E-G, P:SGP-B）、第2項が板厚を示している。試験体の钢管部は、それぞれの钢管を所定の長さに切断し、旋盤により外面を削りして製作した。試験 図-1 試験体の概要図

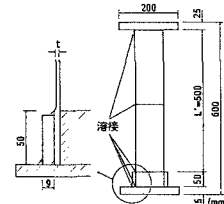


表-1 試験体の寸法および各パラメータ

試験 体名	荷重点 高さ <i>L</i> (mm)	钢管 高さ <i>L'</i> (mm)	板厚中心 半径 <i>R</i> (mm)	板厚 <i>t</i> (mm)	軸力 <i>P</i> (kN)	細長比			径厚比 <i>R/t</i> <i>Rt</i>
						<i>L/R</i>	$\bar{\lambda}$	<i>R/t</i>	
K-t10	631.5	500	47.75	1.0	11.8	13.23	0.514	47.8	0.147
K-t15						13.16	0.511	32.0	0.099
K-t20						13.09	0.508	24.1	0.074
K-t22						13.06	0.507	22.0	0.068
K-t25						13.02	0.506	19.4	0.060
P-t15						12.95	0.376	32.5	0.056

$$\bar{\lambda} = \frac{2L}{\pi r} \sqrt{\sigma_y/E}, R_t = \frac{R}{t} \frac{\sigma_y}{E} \sqrt{3(1-\nu)^2}$$

## 2.2. 実験装置および実験方法

図-2に実験装置の概要を示す。試験体上部には橋梁上部工の質量を模擬した全質量1.2tonの鉛塊が設置されている。実験は最低次弹性固有振動数を測定した後、次の2種類について行った。1)入力加速度を3~5段階設定して試験体が崩壊あるいは基部近傍に局部座屈が発生するまで繰り返し行う加振実験、2)単調載荷実験結果の最大耐力を参考にして求めた入力加速度で加振する実験である。なお、設定加速度は弹性梁理論より求めた鉛塊重心位置に作用する降伏水平荷重を参考にして決定した。また、加振周波数は最低次弹性固有振動数を参考にして決定している。

## 3. 実験結果および考察

ここでは、紙面の都合上、試験体K-t15, K-t25, P-t15を例に取り考察する。表-3に各試験体の実験条件を示す。図-3に振動台への入力加速度波形および鉛塊重心位置における応答加速度波形の1例として試験体K-t15-d2の結果を示す。図より、入力加速度波形は加振開始後ほぼ線形に増幅して所定の振幅となり、9波ほど定常振動の後、加振停止によりほぼ線形に減少しやがて静止している。一方、応答加速度波形は定常加振状態に至ら

鋼種	降伏応力 $\sigma_y$ (MPa)	引張強度 $\sigma_u$ (MPa)	降伏比 $\sigma_y/\sigma_u$	弾性係数 $E$ (GPa)	ボアソン比 $\nu$
STK400-E-G	384	516	0.744	206	0.3
SGP-B	210	425	0.494		

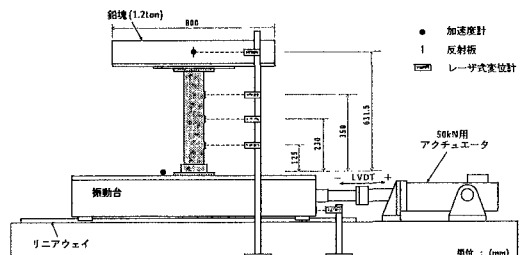


図-2 実験装置の概要図

キーワード：钢管柱模型、加振実験、動的挙動、径厚比、韌性

連絡先 〒050-8585 室蘭市水元町 27-1 室蘭工業大学 建設システム工学科 Tel 0143-46-5230 Fax 0143-46-5227

表-3 実験条件一覧

試験体名	加振周波数(Hz)	入力加速度(gal)
K-t15-d1	3.0	125, 250, 375
-d2		375
-d3		500
K-t25-d1	4.0	175, 350, 525, 700, 875
-d2		875
P-t15-d1	3.0	125, 250, 375
-d2		375

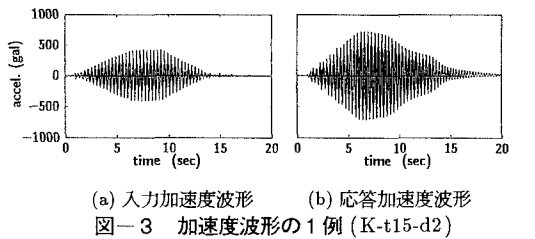
ず振幅が最大値に達した後、徐々に減少していることがわかる。これは、基部近傍に局部座屈が発生したことにより、加振エネルギーが吸収され試験体上方に伝達されないためと考えられる。

図-4に試験体K-t15-d1, K-t25-d1, P-t15-d1の鉛塊重心位置における応答加速度-応答変位関係を示す。図より、同一鋼種で径厚比が異なる場合(K-t15-d1, K-t25-d1)に着目すると、試験体K-t15-d1は入力加速度375gal時で応答加速度が最大値に達し、その後まもなく倒壊に至っている。一方、試験体K-t25-d1は入力加速度525gal時で応答加速度が最大値に達しているものの倒壊には至らず、最終的に入力加速度875gal時で倒壊している。最大応答加速度に関しては、試験体K-t15-d1で700gal程度であるのに対し、試験体K-t25-d1は1000gal程度まで達している。また、板厚が等しく鋼種が異なる場合(K-t15-d1, P-t15-d1)に着目すると、入力加速度125gal時では各試験体の最大応答加速度はほぼ等しいことがわかる。しかしながら、入力加速度250gal時では、試験体K-t15-d1は降伏応力が大きいことより未だ弾性的なヒステリシスループを描いているのに対し、試験体P-t15-d1は降伏応力が小さいため塑性化の進行を表すS字状を呈している。また、入力加速度375gal時では各試験体とも倒壊に至っているが、試験体P-t15-d1の最大応答加速度は試験体K-t15-d1よりも小さく500gal程度であり、それほど大きな塑性減衰を示さずに倒壊に至っている。これは、崩壊へのメカニズムが降伏点の大小に依存して異なることを示唆しているものと判断される。

図-5に試験体K-t15, K-t25の最大応答加速度に鉛塊質量を乗じて求めた換算水平荷重と応答変位の関係を示す。なお、図中には別途実施した単調載荷実験における荷重-変位曲線を合わせて示している。図より、試験体K-t15は換算水平荷重が単調載荷実験における最大耐力付近に達した後、崩壊に至っているのに対し、試験体K-t25はそれに達する以前で崩壊に至っていることがわかる。

#### 4. まとめ

本研究では、小型橋脚模型上に上部工を模擬した鉛塊を設置し加振実験を行った。実験結果、径厚比の小さい試験体の場合には、径厚比の大きい場合と比較して韌性能に優れている傾向にあること、また降伏点が異なる場合には崩壊へのメカニズムが異なるものと推察されること等が明らかとなった。



(a) 入力加速度波形 (b) 応答加速度波形  
図-3 加速度波形の1例(K-t15-d2)

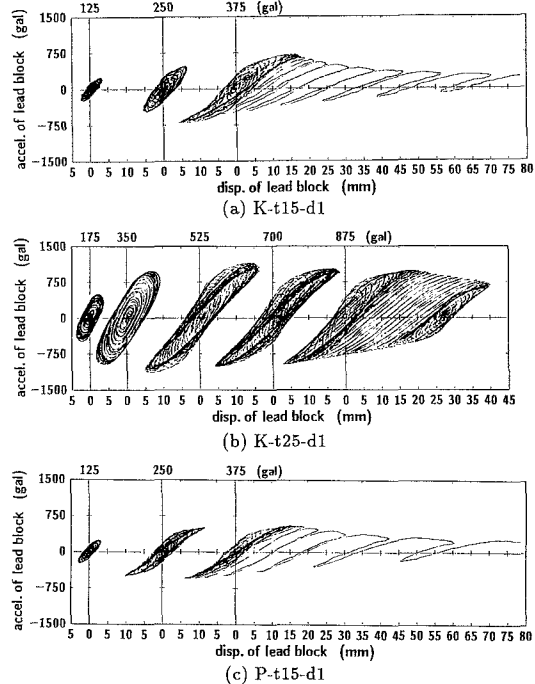


図-4 鉛塊の応答加速度-応答変位曲線

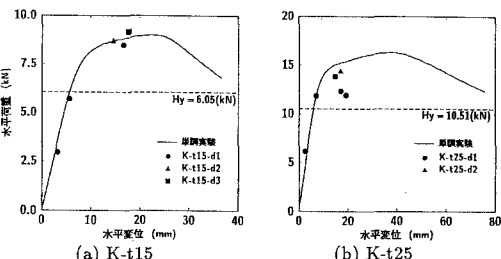


図-5 単調載荷実験結果との比較